

القدرة الكهروحرارية لاغشية InAs العشوائية

بشرى كاظم حسون الميالي

قسم الفيزياء، كلية التربية ابن الهيثم، جامعة بغداد

الخلاصة

تناول هذا البحث دراسة القدرة الكهروحرارية (S) لاغشية InAs العشوائية ضمن المدى الحراري K (303-408) والمحضرة بطريقة التبخير الحراري. حضرت هذه الاغشية باسمك مختلف nm (450,350,250) وتم معاملتها حرارياً بدرجات حرارة تتباين مختلفة K (303,373,423,473,523). أثبتت دراسة القدرة الكهروحرارية أن جميع الاغشية المحضرة من نوع (p-type)، كما لوحظ عند دراسة سلوك القدرة الكهروحرارية لهذه الاغشية دالة للسمك ودرجة حرارة التلدين، زيادة القدرة الكهروحرارية مع زيادة درجة حرارة التلدين، بينما تناقصت مع زيادة سمك الاغشية.

المقدمة

إن آلية التوصيل في اشباه الموصلات لا يمكن أن تكتمل مالم يعرف أيهما الناقل الرئيس الالكترونات أو الفجوات، ولإعطاء معلومات حول ميكانيكية التوصيل الكهربائي وتحديد نوعية حوامل الشحنات الرئيسية في التوصيل الكهربائي تستخدم قياسات القدرة الكهروحرارية، إذ تعد هذه الظاهرة أحدى الطرائق المهمة في دراسة الخصائص الكهربائية لأشباه الموصلات (1).

القدرة الكهروحرارية أو ما يسمى بتأثير سبياك هو نشوء قوة دافعة كهربائية نتيجة لحدوث فرق في درجات الحرارة بين نقطتين مختلفتين في دائرة مغلقة.(2,1)

زرنيخ الانديوم واحد من مركبات ثلاثي- خماسي شبه الموصلة، ولهذا المركب ميزات فريدة، إذ يمتاز بفجوة طاقة مباشرة صغيرة تجعل منه كاشفا جيدا للاشعة تحت الحمراء، ويمتلك قيمة كبيرة لمعامل هول يجعل منه مادة مناسبة في تصنيع نبائط تأثير هول (4,3) كما يستخدم في مجال بناء الليزرات والعديد من الوسائل الكهرومغناطيسية (5) والتطبيقات والنبائط الكهروحرارية. (7,6)

ولقد تعددت طرائق تحضير هذه الأغشية نظراً لاعتمادها في الكثير من التطبيقات الصناعية(5)، إذ حضرت بطريقة الترسيب الكهربائي(8) Electro deposition وطريقة الترذيز (9) Sputtering وطريقة التبخير بالوميض (10) flash evaporation وطريقة (11) Chemical deposition and heating with a vacuum وغيرها، إذ تؤدي طريقة التحضير دوراً مهماً في تحضير هذه الأغشية وتجانسها وذلك بسبب الصعوبة الكبيرة في السيطرة على الموازنة الكيميائية وتجانسها وتؤدي طريقة التحضير دوراً مهماً في تحضير هذه الأغشية وتجانسها وذلك بسبب الصعوبة الكبيرة في السيطرة على الموازنة الكيميائية للغشاء المرسب (9,12).

وفي بحثنا الحالي استخدمت طريقة التبخير الحراري بالفراغ thermal evaporation في تحضير أغشية InAs العشوائية للحصول على أغشية متجانسة لأنها الطريقة التي تضمن أقل احتمالات التلوث، إذ درست القدرة الكهروحرارية لاغشية InAs العشوائية وذلك لمعرفة نوع حاملات الشحنة لهذه الأغشية وأعتمادها أنفاق الشحنة على ظروف التحضير من سماكة ودرجة حرارة ثلدين ولاتمام العمل مع قياسات تأثير هول(13) بغية الحصول على دقة أكثر في تحديد نوعية حاملات الشحنة ولتأكيد النتائج التي حصلنا عليها سابقاً.

العمل

لقد حضرت أغشية InAs العشوائية بطريقة التبخير الحراري بالفراغ على أرضيات من الزجاج بعد تحضير سبيكة InAs وذلك بأخذ نسب ذرية من عناصر As, In ذي نقاوة عالية 99.999% ، ثم وضعت هذه النسب الوزنية للعناصر المستعملة داخل أنبوبة من الكوارتز، بعدها أجريت عملية التفريغ بوساطة مفرغة ميكانيكية إلى ضغط يصل (10^{-2} torr) ثم وضعت الأنبوبة المفرغة داخل الفرن وبالاعتماد على

المخطط الطوري لهذه المادة تم تسخينها الى درجة حرارة K 1273 مدة (5-6) ساعات مع تحريك الأنبوة بين مدة وأخرى لضمان تجانس الخليط ثم أخذت بالماء البارد، وبعدها تقطع الأنبوة من أحد طرفيها لإخراج السبيكة واستعمالها في تحضير النماذج. يتم تحضير الأغشية على مرحلتين في المرحلة الأولى يتم تهيئة أقطاب التوصيل الأومي وذلك بتخمير أسلاك من الألمنيوم (Al) على أرضيات زجاجية مغطاة بالأقنعة الخاصة بالأقطاب وتم عملية الترسيب بعد بلوغ القيمة المطلوبة من الضغط . أما في المرحلة الثانية فمرحلة تحضير نماذج الأغشية فيتم استبدال أقنعة التوصيل بأقنية أخرى ذي فتحة مستطيلة الشكل بحيث تسمح بترسيب المادة بشكل يغطي الأقطاب إلى النصف تقريباً لضمان التوصيل ويستعمل النصف الآخر من الأقطاب لربط أسلاك التوصيل .

يتم تحضير الأغشية بوضع مادة InAs التي تحقق السمك المطلوب في حويض من المولبديوم (Mo) ، وعند بلوغ الضغط القصوى (3×10^{-6} torr) باستعمال وحدة التغطية من نوع E306 coating unit لشركة Edwards يتم ترسيب المادة على سطح الأرضيات المثبتة على بعد (15 cm) من الحوض، هذا وقد حضرت الأغشية بأسماك مختلفة nm (250,350,450) وبمعدل ترسيب (1 nm/sec) ، بعدها تم معاملة هذه الأغشية حرارياً ولمدة ساعة واحدة بدرجات حرارة تلذين مختلفة K (303,373,423,473,523) .

قيسَت القدرة الكهروحرارية (S) لجميع الأغشية المحضرة قبل التلذين وبعده وذلك بوضع النماذج المحضرة بين قطعتين معدنيتين على شكل متوازي مستطيلات محاطة بصفحة من النحاس الأصفر تسخن أحدهما وتبرد الأخرى بماء جار. ويثبت الانموزج بحيث تكون الأقطاب في حالة تماش مع القطعتين ويربط قطبي التوصيل إلى جهاز Voltmeter Keithely 616 لقراءة فرق الجهد بين القطبين (ΔV) ويُقاس تغير درجة الحرارة (ΔT) بين القطبين عن طريق مزدوج حراري الذي تمس نهايته الغشاء . ومن الجدير بالذكر أن درجة حرارة الصفيحة الباردة T_1 تبقى ثابتة خلال العمل وتتساوي K 303 ، أما درجة حرارة الصفيحة الساخنة T_2 فتتغير ضمن المدى الحراري K (303-408) قيَسَت الفولتية V_2 ضمن هذا المدى وكل خمس درجات حرارية.

وبعدها حسبت القدرة الكهروحرارية (S) بتطبيق العلاقة (2,1):-

$$S = \Delta V / \Delta T \dots \dots \dots [1]$$

النتائج والمناقشات

من رسم العلاقة بين القدرة الكهروحرارية (S) مقابل مقلوب درجة الحرارة ($1/T$) لأشباعية a-InAs المحضرة بأسماك مختلفة دالة لدرجة حرارة التلدين ، شكل (1) وجد أن للقدرة الكهروحرارية أشارات موجبة مما يدل على أن التوصيلية من نوع p-type، وأن نوعية الحاملات لا تتغير مع تغير درجة حرارة التلدين . الإشارة الموجبة للقدرة الكهروحرارية تشير الى أن مستوى فيرمي يقع الى الأسفل من وسط فجوة الطاقة ، وهذا يعني أن التوصيلية تكون ناتجة من انتقال الفجوات، وان الحالات الموضعية عند حافة حزمه التكافؤ هي التي تستعمل في عملية التوصيل. هذه النتائج تؤكد صحة نتائج قياساتنا لتأثير هول (13) ، كما تتفق مع ما توصلت إليه الدراسة(14) من أن ل المادة InAs توصيلية من نوع p-type .

يلاحظ من الشكل (1) ارتفاع قيمة S بزيادة درجة حرارة التلدين وهذا يعود الى نقصان تركيز حاملات الشحنة (الفجوات) بزيادة درجة حرارة التلدين، بينما تتناقص قيمة S بزيادة سمك الغشاء وقد يعزى ذلك الى أن زيادة السمك يؤدي الى نقصان مراكز أصطدام حاملات الشحنة وهذا بدوره يؤدي الى زيادة تركيز حاملات الشحنة ومن ثم نقصان قيمة (S) .

حسب طاقة التشغيل للقدرة الكهروحرارية (Es) التي تمثل فرق الطاقة بين مستوى فيرمي، والطاقة عند الموضع الذي يحدث فيه انتقال الشحنات، من ميل المنحني المرسوم بين (S) مقابل ($1/T$) .

وبيين الشكل (2) تغير Es مع تغير درجة حرارة التلدين دالة للسمك، إذ يلاحظ ارتفاع قيمة Es مع زيادة درجة حرارة التلدين، وقد يعزى السبب في ذلك الى أن عملية التلدين تعمل على تقليل كثافة الأوصاف المتذليلة وزوال الثغرات وقد تؤدي الى التقليل من الحالات

الموضعية داخل فجوة الطاقة ومن ثم زيادة طاقة التنشيط، بينما يبين لنا شكل (3) تناقص قيم E_S مع زيادة سمك الغشاء المحضر قبل التلدين وبعده.

ولقد درس Nagels (15) ظاهرة القدرة الكهروحرارية لأشباه الموصلات العشوائية وبين أن هناك ثلاث ميكانيكيات ممكنة للتوصيل الكهروحراري وهي : (a) التوصيل في الحالات الممتدة لحزمة التوصيل وهنا تكون طاقة التنشيط للتوصيلية مقاربة لطاقة التنشيط للقدرة الكهروحرارية . (b) التوصيل في الحالات الموضعية قرب الحافة الحركية، وفي هذه الحالة يكون هنالك فرق بين طاقة التنشيط للتوصيلية وطاقة التنشيط للقدرة الكهروحرارية بمقدار طاقة التنشيط للتنفس. (c) التوصيل في الحالات الموضعية قرب مستوى فيرمي .

وعند مقارنة النتائج المستحصلة من بحثنا هذا مع النتائج التي حصلنا عليها عند قياس التوصيلية الكهربائية المستمرة لأغشية InAs العشوائية، نجد أن هناك فرقاً بين قيم E_S و E_a , إذ تكون قيمة طاقة التنشيط للقدرة الكهروحرارية E_S أقل من طاقة التنشيط للتوصيل الكهربائي E_a لاحظ جدول (1)، وهذا الفرق يمثل طاقة التنشيط للتنفس مما يدل على أن ميكانيكية توصيل القدرة الكهروحرارية تتم بوساطة انتقال الحاملات (الفجوات) المتهيجية في المستويات الموضعية عند حافة حرمة التكافؤ والتنفس في الحالات الموضعية عند ذيل الحزمة.

الاستنتاجات

النتائج التي حصلنا عليها من دراسة القدرة الكهروحرارية لأغشية InAs العشوائية والمحضرة بطريقة التبخير الحراري تبين أن للقدرة الكهروحرارية أشاره موجبة مما يؤكد أن التوصيلية من نوع p-type، وأن حاملات الشحنة الرئيسية هي الفجوات ، ولم تظهر عملية التلدين وتغير سمك الأغشية أي تغير على نوع حاملات الشحنة.

وقد أظهرت النتائج زيادة القدرة الكهروحرارية وطاقة التنشيط مع زيادة درجة حرارة التلدين ، بينما تناقصت كل من القدرة الكهروحرارية، وطاقة التنشيط مع زيادة سمك الأغشية.

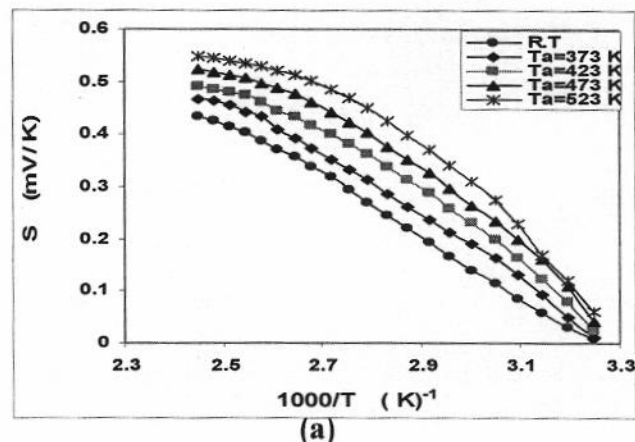
وكان هناك فرق بين طاقة التشغيل لقدرة الكهروحرارية وطاقة التشغيل للتوصيل الكهربائي.

المصادر

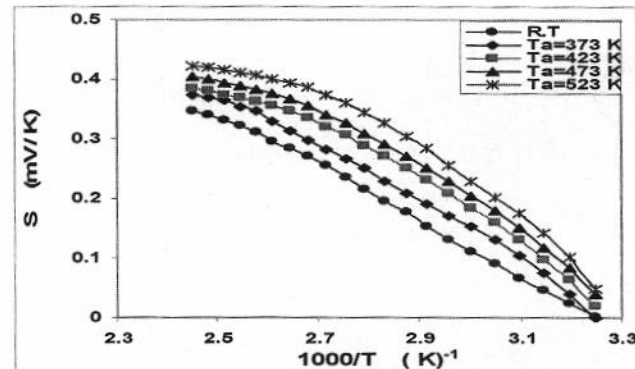
1. Trakalo, M.; Moore, C.J.; Leslie, J.D. and Brodie, D.E. (1984), "Rev.Sci.Instrum.", 55: (5) 754-757.
2. Kasap, S.O. (2002)"Principles of Electronic Materials and Devices", 2nd edition, McGraw Hill.
3. Francombe, M.H. and Johnson, J.E. (1969),"Physics of thin films", Ed by Georg Hass and R.E.Thun, Academic Press, New York, 5:143-229.
4. Wieder, H.H. (1970) "Intermetallic Semiconducting Films", Pergamon Press, Germany.
5. Sharma, A. K. and Jayarma Keddy, P. (1984)"Appl.Phys.A", 34: 69-74.
6. Mingo, N. (2004) "Appl.Phys.Lett.", 84: 2652-2658.
7. Mavrokefalos, A.; Pettes, M. T. and Shi, L. (2007) "Rev.Sci.Instrum.", 78: 034901.
8. Valentin, M.; Benedetto, B. and Luisa, P. (2004),"Journal of alloys and compounds", 366: (1) 152-160.
9. Szczyrbowski, J.; Czapla, A. and Jachimowski, M. (1977), "Thin Solid films", 42: 193-198.
10. Sharma, A. K. and Reddy, P.J. (2006),"Physica Status Solidi (a)", 61: (1) 295-299.
11. Botha, L.; Shamba, P. and Botha, J.R. (2006) "Semicond.Sci.Technol." 21:450-461.
12. Sharma, A.K. (1984), "Czech.J.Phys.B", 34: (7) 705-711.
13. Al-Maiyaly,B.K.H.(2000),"J.of Col.of Education",AL-Mustansiriyah University, 2: 15-20.
14. Kaiwa, N.; Yamazaki, J.; Matsumoto, T. and Saito, M. (2007), "Appl.Phys.Lett.", 90: 52107.
15. Nagels, P.(1979),"Topics in applied physics amorphous Semiconductors " ed by Brodsky M.H.,36:116-159.

الجدول (1) قيم طاقات التنشيط لقدرة الكهروحرارية والتوصيل الكهربائي المستمر لأنوبيت العشوائية المحضر بسمك . 450 nm InAs

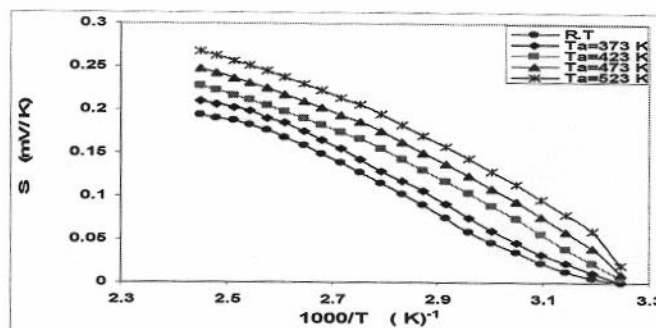
The case	Ea_2 (eV)	Es (eV)
R.T	0.35	0.307
Ta=373 K	0.38	0.334
Ta=423 K	0.42	0.374
Ta=473 K	0.45	0.414
Ta=523 K	0.483	0.44



(a)

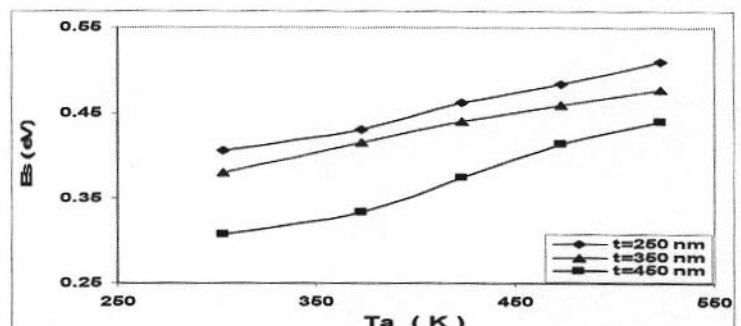


(b)

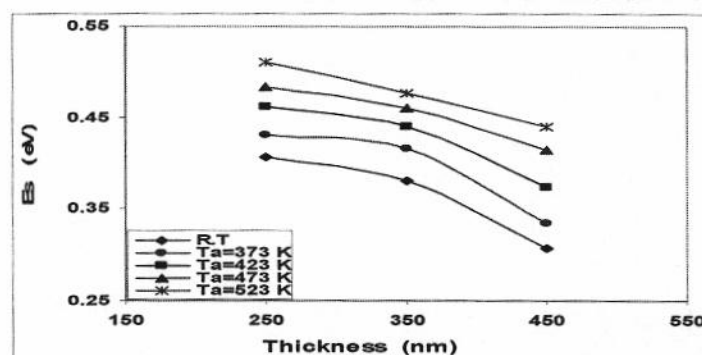


(c)

الشكل (1) تغير القدرة الكهروحرارية (ϵ) مقابل مقلوب درجة الحرارة دالة لدرجة حرارة التلدين لأنغشية a-InAs المحضرة بسمك: (a) 350 nm (b) 250 nm (c) 450 nm



الشكل (2) تغير طاقة التشبع للقدرة الكهروحرارية لأنغشية a-InAs مقابل تغير درجة حرارة التلدين دالة للسمك .



الشكل (3) تغير طاقة التشبع للقدرة الكهروحرارية لأنغشية a-InAs مقابل تغير السمك دالة لدرجة حرارة التلدين.

Thermoelectric Power of Amorphous InAs Thin Films

B. K. H. Al-Maiyaly
Department of Physics ,College of Ibn Al-Haytham,
University of Baghdad

Abstract

The thermoelectric power (S) of thermal evaporated a-InAs films were measured in the temperature rang (303-408) K.

These films were prepared at different thickness (250,350,450) nm and treated at different annealing temperatures (303,373,423,473,523) K.

The behaviour of the thermoelectric power studies of these films as a function of thickness and annealing temperature showed the thermoelectric power an increasing trend with annealing temperature ,whereas it decreases as the film thickness increases.